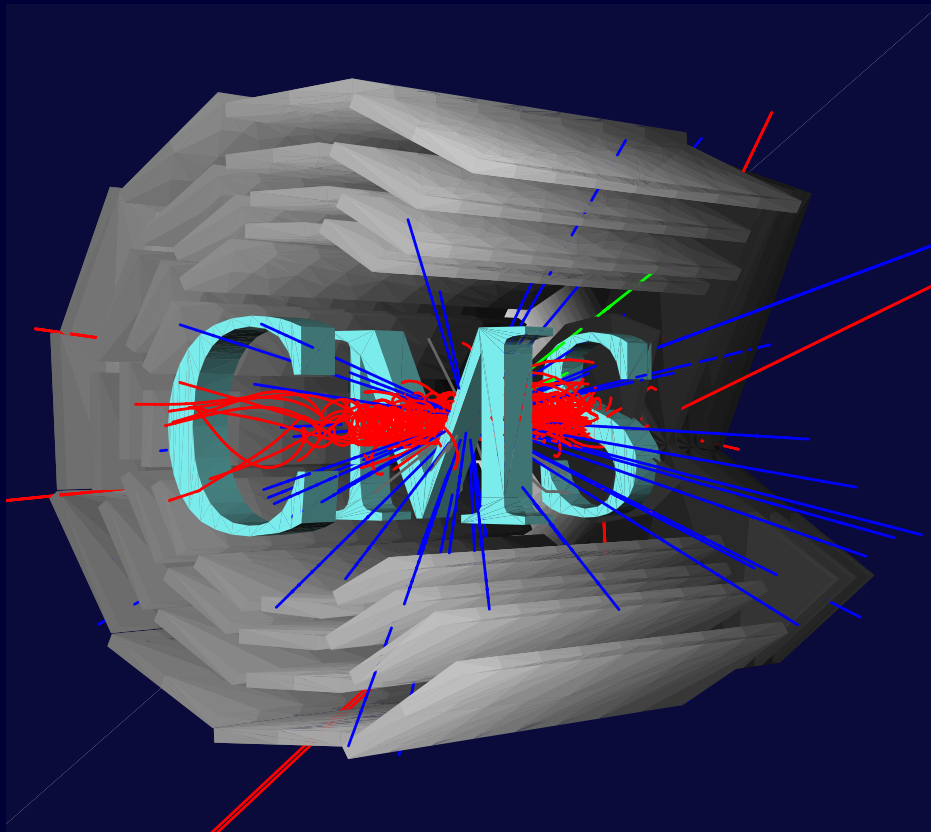


Fizyka CMS

Czego My Szukamy?

G.Wrochna



- Krótka historia fizyki cząstek
- Sytuacja obecna
- Narzędzia badawcze
- Fizyka CMS
 - higgs Modelu Standardowego
 - łamanie CP i fizyka kwarku b
 - supersymetria: higgs i supercząstki

Unifikacja oddziaływań

Wielki Wybuch Inflacja Anihilacja Bariogeneza Nukleosynteza Rekombinacja

10^{-43} s

10^{-32} s

10^{-10} s

10^{-4} s

100 s

300000 lat



10^{-35} m
 10^{19} GeV

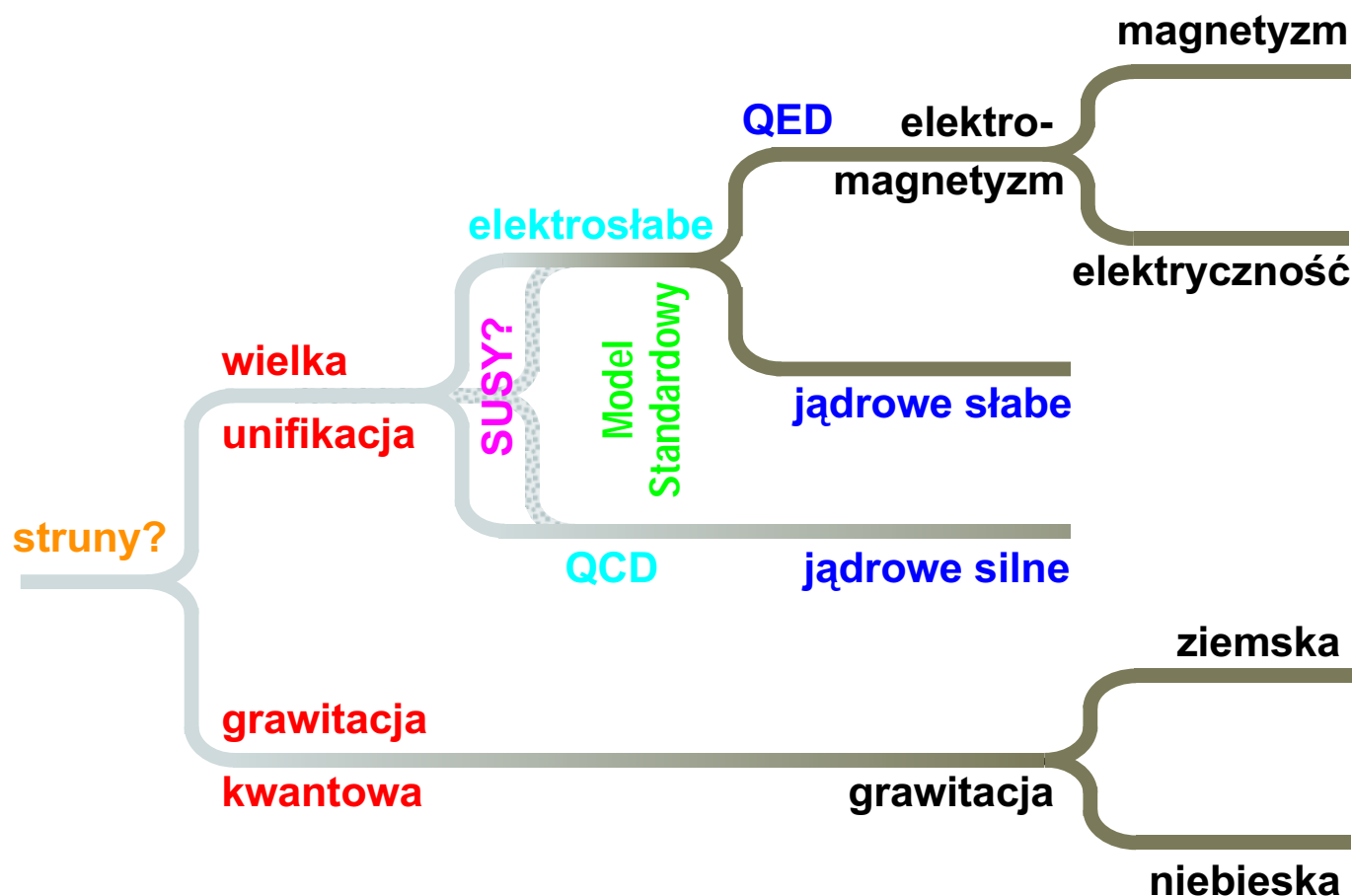
10^{-32} m
 10^{16} GeV

10^{-18} m
 10^2 GeV

10^{-16} m
1 GeV

10^{-15} m
1 MeV

10^{-10} m
10 eV



QED - elektrodynamika kwantowa
QCD - chromodynamika kwantowa

Krótką historia fizyki



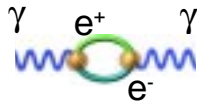
10^{-10}m

$<10\text{eV}$

$3 \cdot 10^7 \text{lat}$

1900 ...

mechanika kwantowa,
fizyka atomowa



1940-50

elektrodynamika
kwantowa



10^{-15}m

MeV-GeV

3 min.

1950-65

jądra, hadrony,
teorie pola



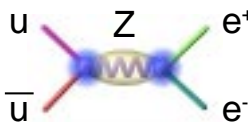
10^{-16}m

$>>\text{GeV}$

10^{-6}s

1965-75

kwarki, teorie pola
z cechowaniem



10^{-18}m

100 GeV

10^{-10}s

1970-83 SPS

QCD, unifikacja
elektrosłaba

3 leptyony	ν_e e	ν_μ μ	ν_τ τ
3 kwarki	u d	c s	t b
x3 kolory	R G B		

1990 LEP

3 rodziny fermionów

1995 Tevatron

kwark top

pochodzenie
mas

10^{-19}m

10^3GeV

10^{-12}s

2005 LHC

higgs? SUSY?

rozpad
protonu?

10^{-32}m

10^{16}GeV

10^{-32}s

?? eksp. podziemne?

Wielka Unifikacja?

początek
Wszczęświata

10^{-35}m

10^{19}GeV

10^{-43}s

?? ??

grawitacja kwantowa?
superstruny?

Sytuacja obecna

Model Standardowy (SM) dobrze opisuje oddziaływania elektroslabe i silne. Dotychczas nie zaobserwowano żadnych znaczących odchyłeń od jego przewidywań.

Ma jednak wady:

- ~20 wolnych parametrów
- masy cząstek generowane są przez mechanizm Higgsa nie wyjaśniony wewnątrz SM
- cząstka Higgsa nie została (jeszcze?) odkryta
- SM nie wyjaśnia też
 - istnienia trzech pokoleń fermionów
 - mieszania pomiędzy pokoleniami

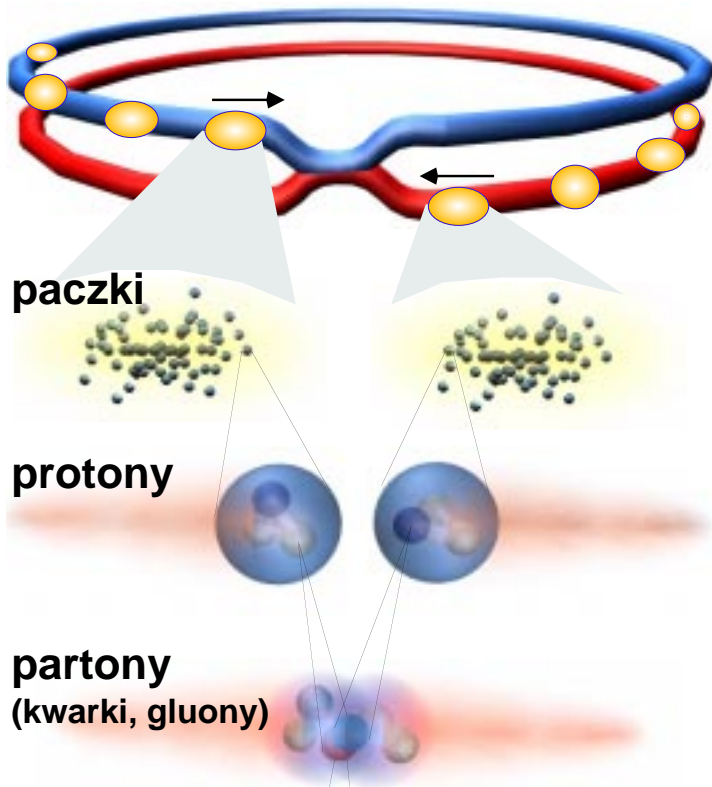
Strategia na najbliższą przyszłość:

- znaleźć cząstkę Higgsa lub wykluczyć jej istnienie w obszarze dopuszczalnym przez teorię (~1 TeV)
- poszukiwać odchyłeń od Modelu Standardowego
- poszukiwać nowych cząstek (~50 GeV — ~5 TeV)

Potrzebne narzędzia

- **akcelerator**
 - duża energia
 - szeroki zakres energii
 - duża świetlność
- **detektory**
 - uniwersalność (e, γ , μ , dżety, brakująca energia)
 - granularność (duża liczba cząstek)
 - szybkość (duża świetlność)

Zderzenia proton-proton w LHC



paczki

protony

partony
(kwarki, gluony)

produkty
zderzenia

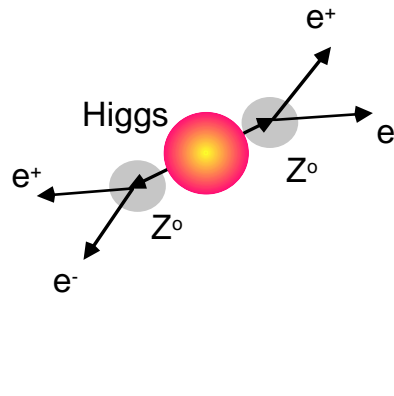
jet

jet

energia	7+7 TeV
obwód	27 km
pole mag.	8.4 T
światłość	$10^{34} \text{cm}^{-2}\text{s}^{-1}$
# paczek	2×2875
#p / paczka	10^{11}

przecięcia paczek:

częstość	40 MHz
odstęp	25 ns
czyli	7.5 m



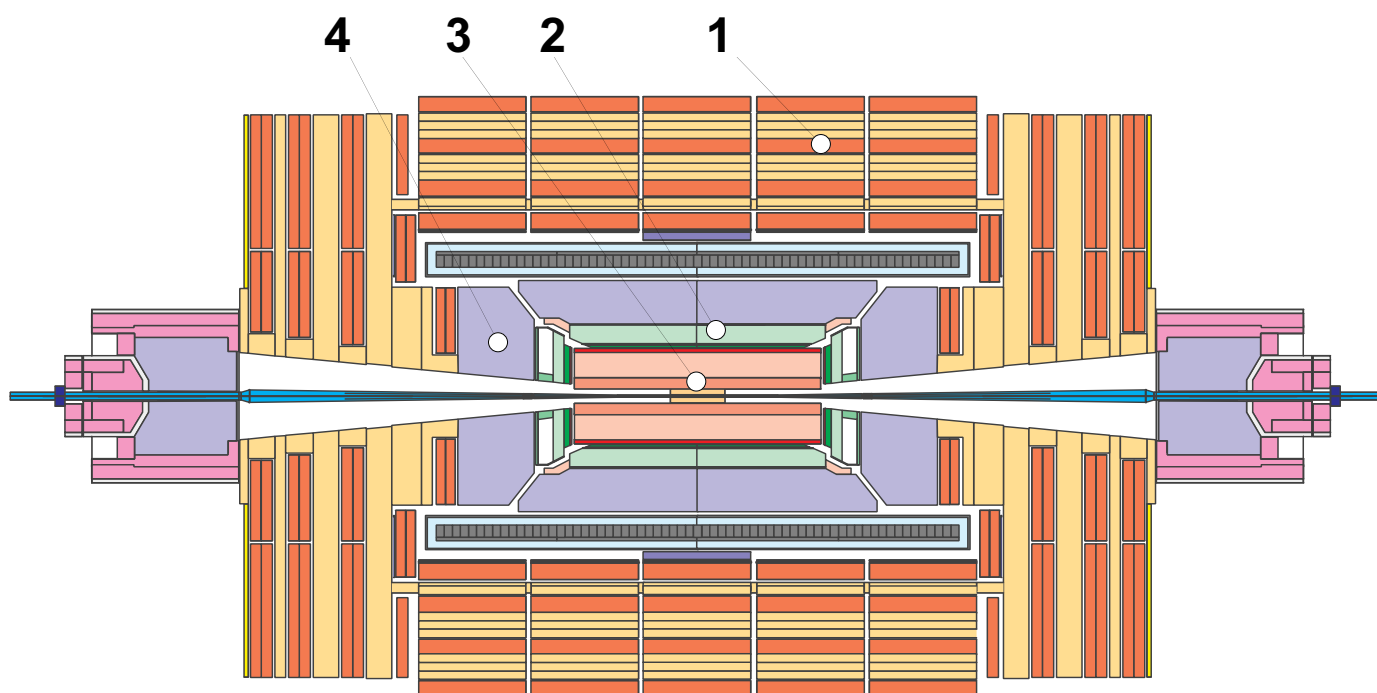
Przy nominalnej światłości w każdym przecięciu paczek znajdzie 10-20 zderzeń proton-proton.

Eksperyment CMS

Compact Muon Solenoid - to detektor przeznaczony do badania zderzeń proton-proton w akceleratorze LHC.

Podstawowe założenia projektowe:

- 1. Bardzo dobry system mionowy**
– precyzja pomiaru, hermetyczność, redundancja
- 2. Najlepszy możliwy kalorymetr elektromagnetyczny**
– zdolność rozdzielcza, jednorodność, granularność
- 3. Wysokiej jakości detektor centralny**
– gęstość próbkowania, precyzja pomiaru
- 4. Hermetyczny kalorymetr hadronowy**



Budowa detektora CMS

SUPERCONDUCTING COIL

ECAL Scintillating $PbWO_4$ Crystals

CALORIMETERS

HCAL Plastic scintillator copper sandwich

IRON YOKE

TRACKER

Micro Strip Gas Chambers (MSGC)
Silicon Microstrips
Pixels

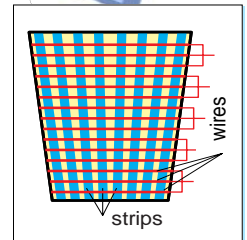
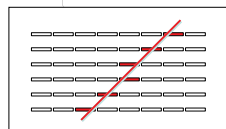
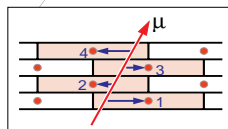
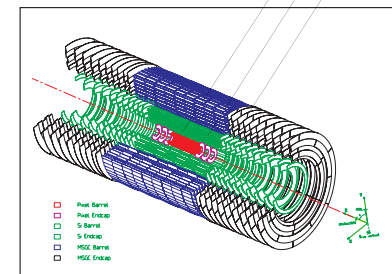
MUON BARREL

Drift Tube Chambers (DT)

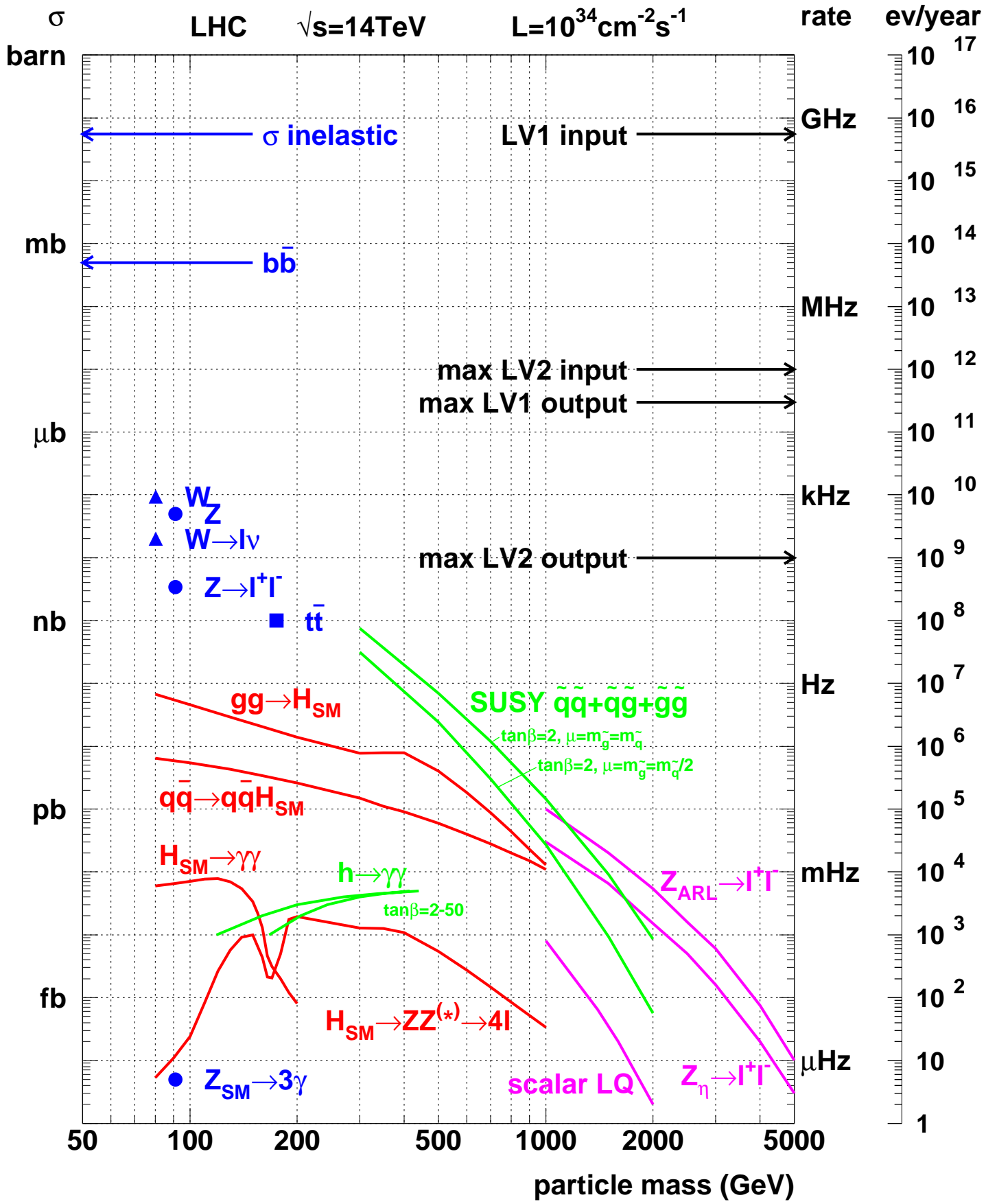
Resistive Plate Chambers (RPC)

MUON ENDCAPS

Cathode Strip Chambers (CSC)
Resistive Plate Chambers (RPC)



Waga 12 500 ton
Średnica 15 m
Długość 22 m
Pole magn. 4 Tesle



Poszukiwanie higgosa

Model Standardowy opiera się na założeniu, że istnieje cząstka Higgosa, lżejsza niż ~ 1 TeV.

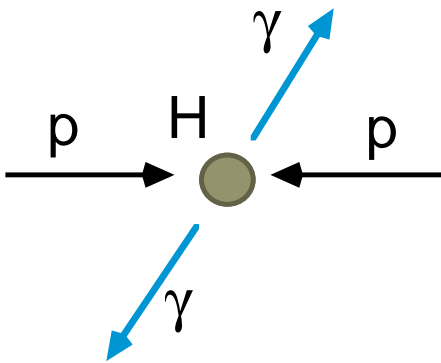
Eksperymentalnie wykluczono już $M_H < 77$ GeV.

Jeżeli higgs nie zostanie odkryty przy największej energii LEP (192 GeV), to do przeszukania pozostanie obszar $95 < M_H < 1000$ GeV.

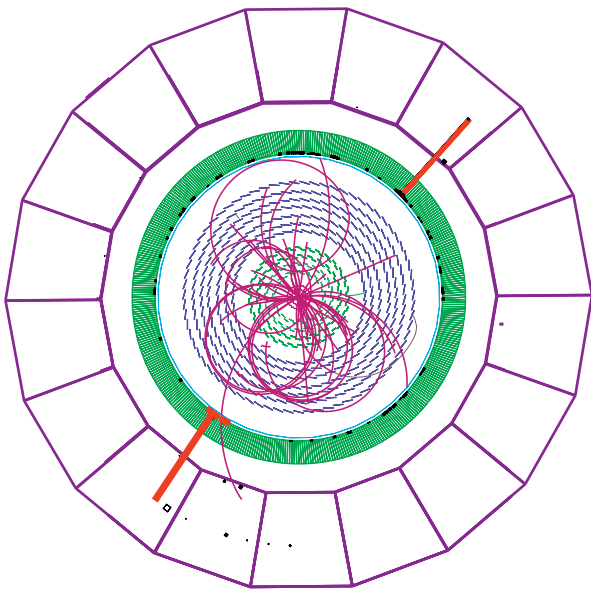
Optymalna strategia poszukiwania higgosa w LHC zależy od jego masy:

$80 < M_H < 140$ GeV	$H \rightarrow \gamma\gamma$
$130 < M_H < 700$ GeV	$H \rightarrow ZZ^{(*)} \rightarrow 4$ leptony
$500 < M_H < 1000$ GeV	$H \rightarrow ZZ^{(*)} \rightarrow 2$ leptony + 2 dżety

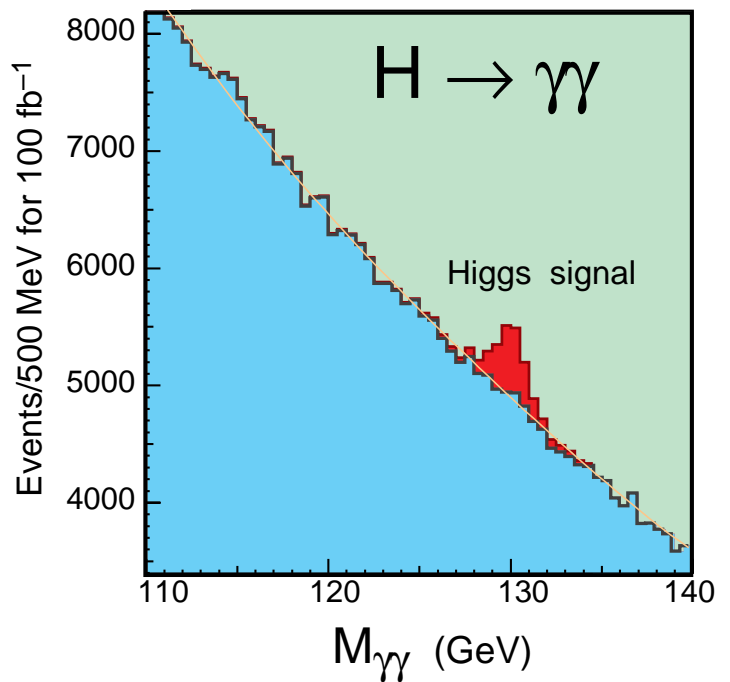
$H \rightarrow \gamma\gamma$ ($80 < M_H < 140$ GeV)



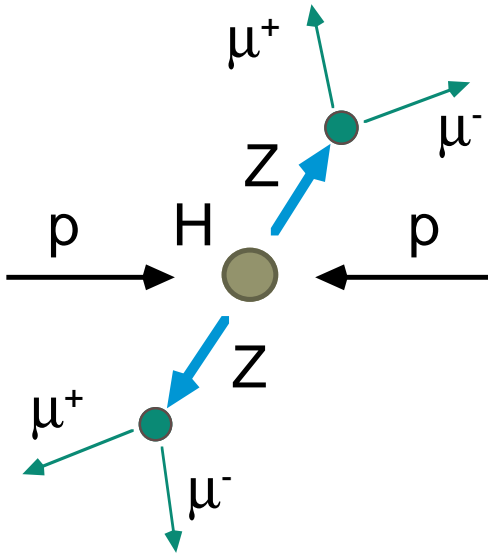
Precyzyjny pomiar energii i kierunku fotonów pozwala zrekonstruować masę $M_H \sim 100$ GeV z dokładnością do 1% i wydobyć sygnał spod olbrzymiego tła.



$M_{\text{Higgs}} = 100$ GeV



$H \rightarrow ZZ^{(*)} \rightarrow 4 \text{ leptony}$ ($130 < M_H < 500 \text{ GeV}$)

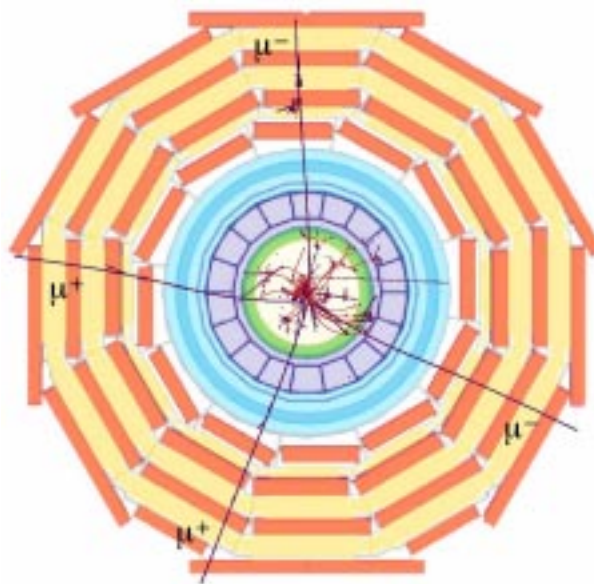


Przypadku z czterema wysokoenergetycznymi leptonami (e lub μ) nie da się nie zauważyć.

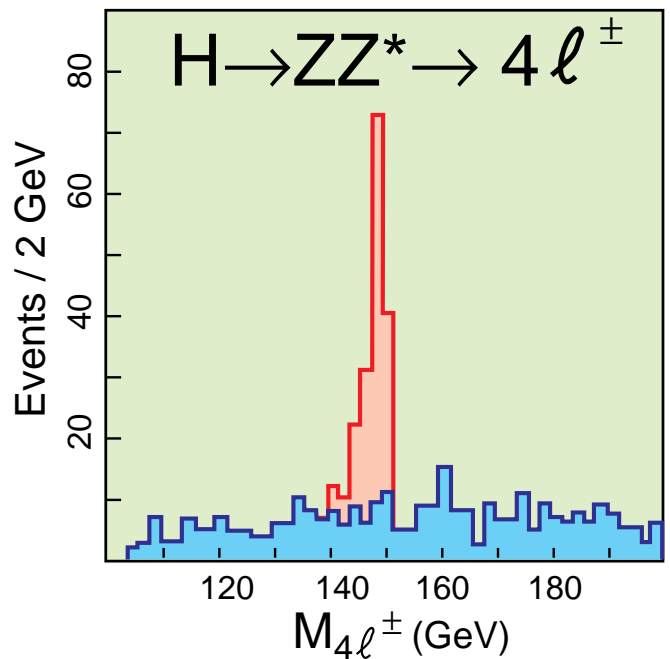
Zwłaszcza pewna identyfikacja mionów ("złoty kanał") pozwala niemal całkowicie wyeliminować tło.

Precyzja:

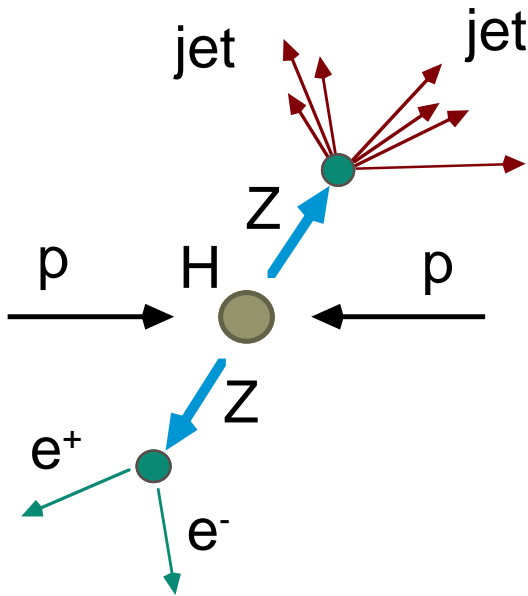
$$\sigma (M_H \sim 170 \text{ GeV}) = 1 \text{ GeV.}$$



$M_{\text{Higgs}} = 150 \text{ GeV}$



$H \rightarrow ZZ^{(*)} \rightarrow \text{leptony} + \text{dżety}$ ($130 < M_H < 500 \text{ GeV}$)



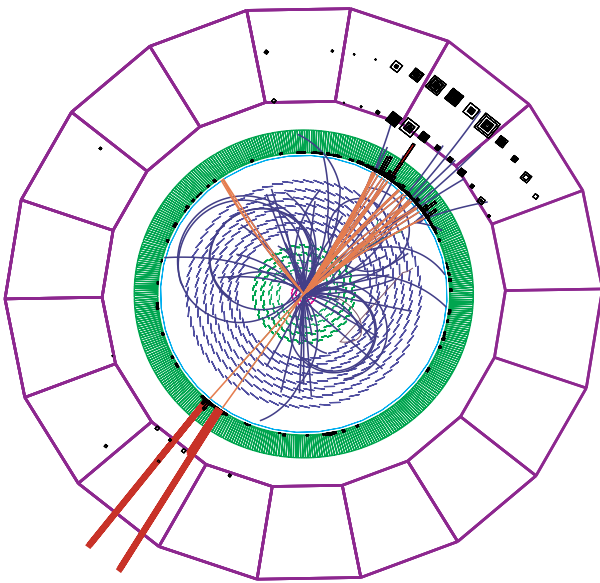
W reakcjach:

$$H \rightarrow ZZ^{(*)} \rightarrow \ell^+ \ell^- jj$$

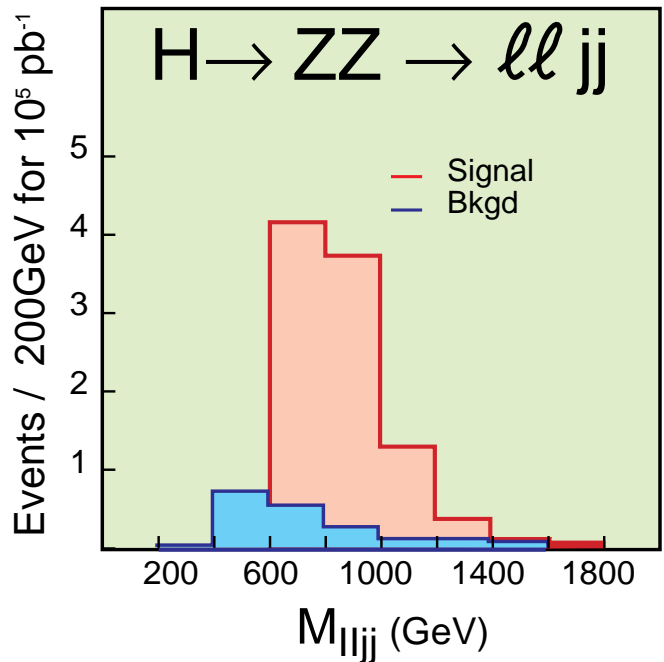
$$H \rightarrow ZZ^{(*)} \rightarrow \ell^+ \ell^- \nu \nu$$

$$H \rightarrow W^+ W^- \rightarrow \ell^\pm \nu jj$$

kalorymtr hadronowy mierzy energię dżetów (j) i brakującą energię poprzeczną E_t^{miss} , charakterystyczną dla neutrin (ν).



$M_{\text{Higgs}} = 800 \text{ GeV}$



Łamanie symetrii CP

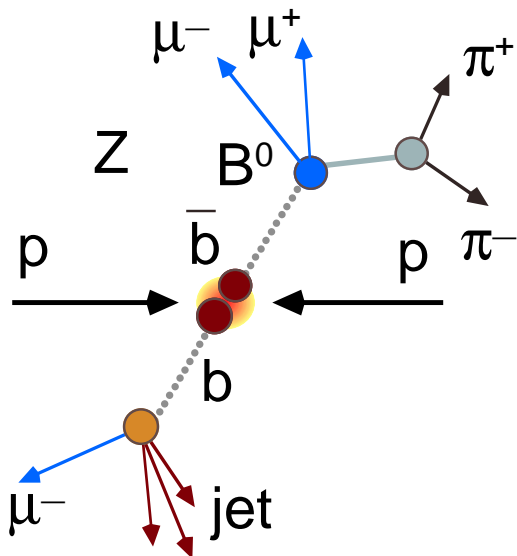
Symetria **CP** oznacza, że cząstka oddziałuje (rozpada się) identycznie jak jej antycząstka (**C**) odbita w lustrze (**P**).

Fakt, że w obserwowanym Wszechświecie jest zdecydowanie więcej materii niż antymaterii sugerowałby istnienie łamania CP.

Dotychczas jedynym zjawiskiem, w którym zaobserwowano łamanie CP są *słabe oddziaływania* mezonów **K⁰** zawierających kwark **s**.

Jeśli to *oddziaływania słabe* są odpowiedzialne za łamanie CP, to powinno się ono przejawiać dużo silniej w przypadku kwarku **b**, znacznie cięższego niż **s**.

Fizyka kwarku *b*



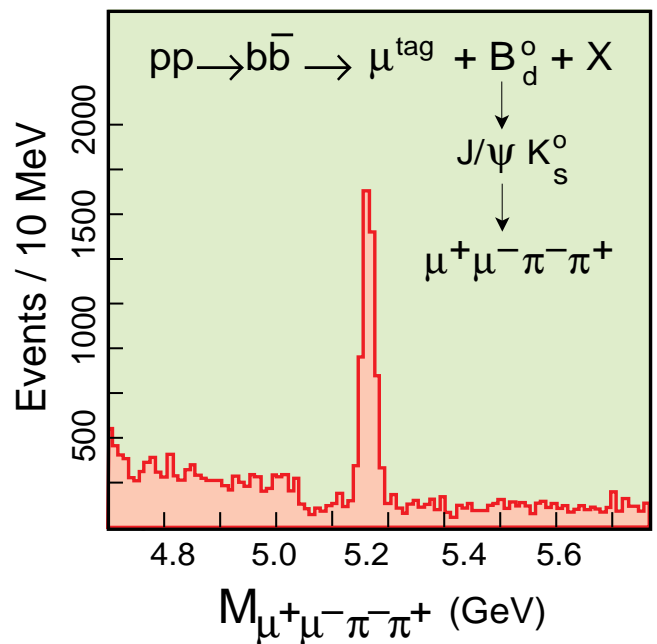
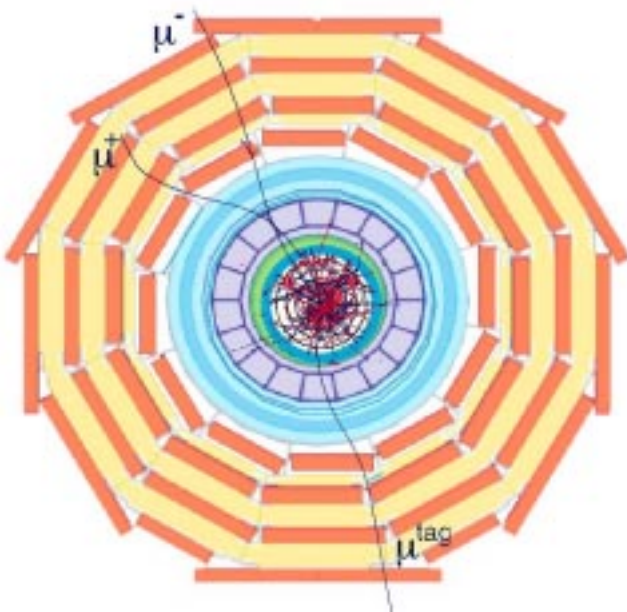
Łamanie CP najsilniej powinno przejawiać się w różnicy częstości rozpadów

$$B^0 \rightarrow J/\psi K_S^0 \quad \text{i} \quad \bar{B}^0 \rightarrow J/\psi K_S^0$$

gdzie

$$J/\psi \rightarrow \mu^+\mu^-, \quad K_S^0 \rightarrow \pi^+\pi^-$$

Można je rozróżnić rekonstruując topologię przypadku.



Supersymetria

Teorie supersymetryczne zakładają, że każda znana (dzisiaj) cząstka ma (jeszcze) nieodkrytego partnera:

fermion (spin połówkowy) \Leftrightarrow **bozon** (spin całkowity)

Atrakcyjność supersymetrii:

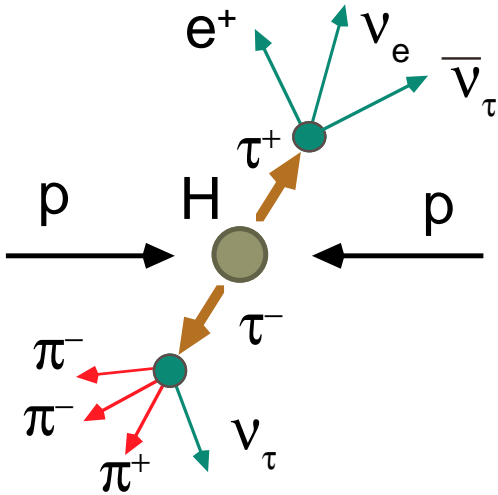
- elegancja symetrii
- wyjaśnienie małej masy higgsa
- krok w stronę Wielkiej Unifikacji
- możliwość wyjaśnienia ciemnej materii we Wszechświecie (**neutralino**)

Najprostszy z modeli,

"Minimal Supersymmetric Standard Model" (MSSM),
przewiduje istnienie pięciu bozonów Higgsa:

h^0 , H^0 , A^0 , H^+ , H^-

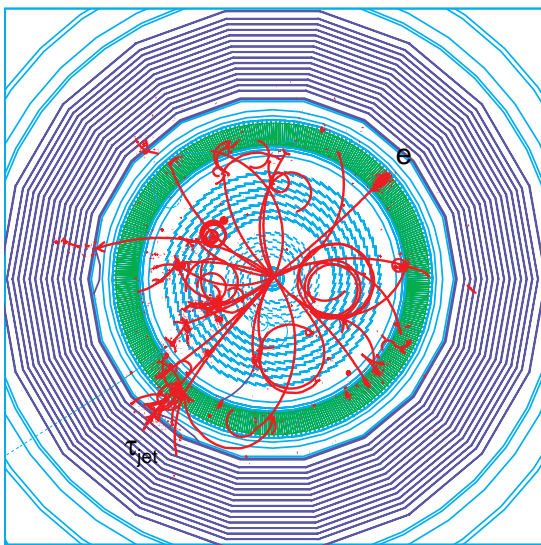
Supersymetryczne higgisy



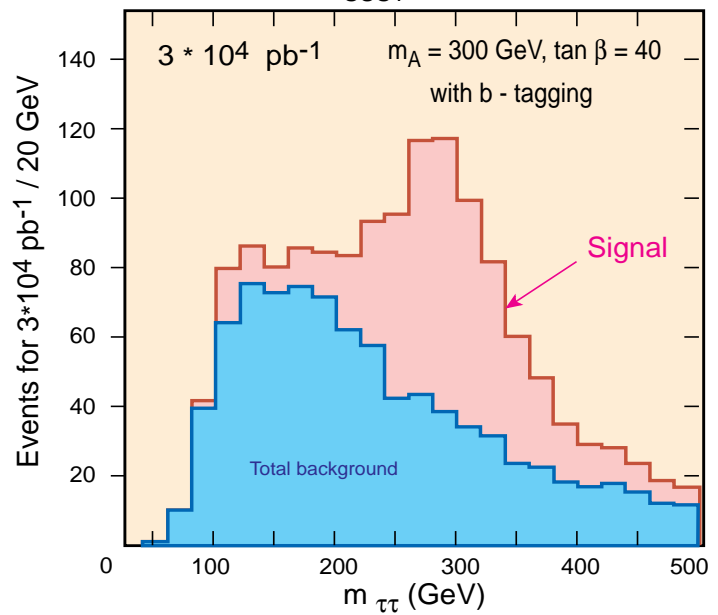
Poszukiwać ich można metodami podobnymi jak w przypadku H_{MS} .

Pojawiają się jednak nowe możliwości, np. rozpad higgosa na 2 leptyony.

$A^0, H^0, h^0 \rightarrow \tau^+\tau^- \rightarrow e/\mu + \tau_{jet} + E_t^{miss}$
in $b\bar{b}H_{SUSY}$ final states

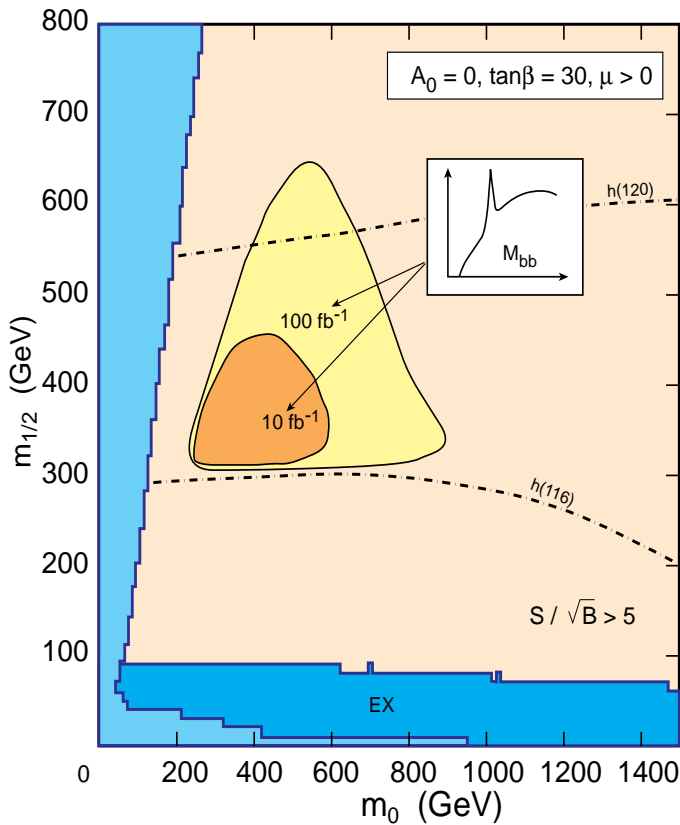


$H \rightarrow \tau\tau \rightarrow e + \tau_{jet}$ ("3-prong")



Możliwości odkrycia supersym. higgosa

mSUGRA-MSSM



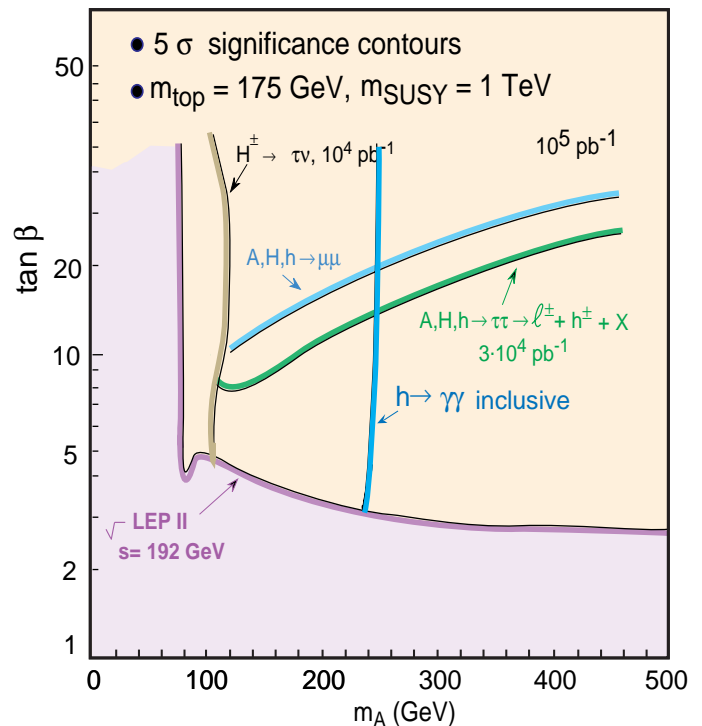
Poszukiwanie higgosa w różnych reakcjach pozwala pokryć znaczną część przestrzeni parametrów podstawowych modeli supersymetrycznych.

Załóżmy, że cząstka może być odkryta jeżeli sygnał **S** przekracza pięciokrotnie niepewność wielkości tła \sqrt{B} .

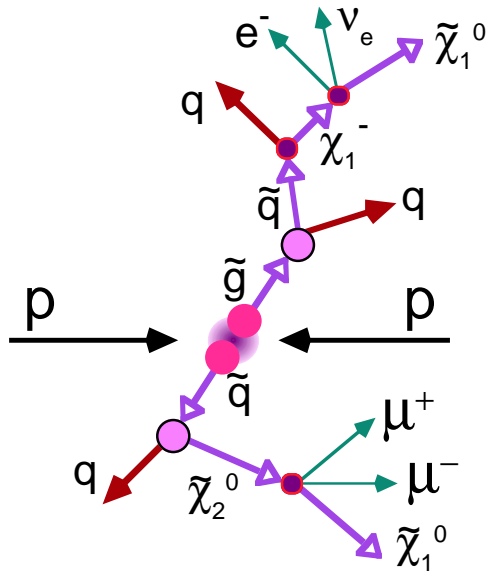
B - liczba przypadków tła.

Kontury $S/\sqrt{B}=5$ dla h, H, A zaznaczono na wykresach.

MSSM



Supercząstki



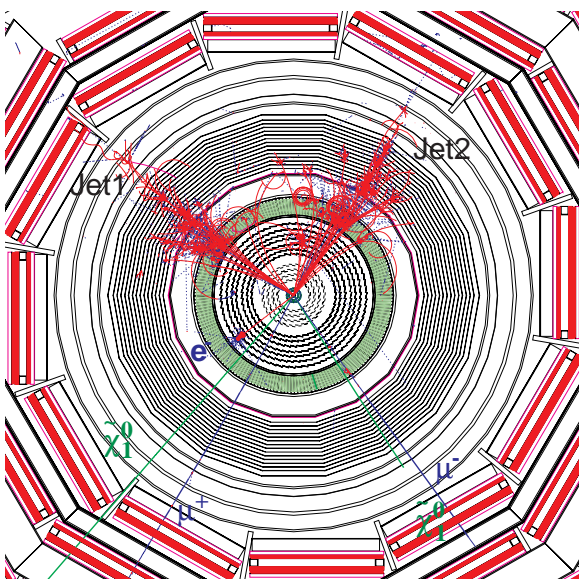
Istnienie supercząstek powinno przejawiać się bogactwem spektakularnych procesów z brakującą energią, obfitujących w wysokoenergetyczne dżety i leptony o nietypowych spektrach.

Przykład:

"urwany" rozkład $M_{\ell\ell}$ w rozpadzie

$$\chi_2^0 \rightarrow \chi_1^0 \ell^+ \ell^-$$

Inclusive $\ell^+ \ell^- + E_t^{\text{miss}}$ final states



SUSY event with 3 leptons + 2 Jets signature

